

بررسی امکان کنترل بیولوژیکی بیماری پوسیدگی ریشه لوبیا با استفاده از موتانت‌های غیربیماری‌زای جدایه *Fusarium solani* f.sp. *phaseoli*

*حسین اهری مصطفوی^۱، ناصر صفائی^۲، بهنام ناصریان^۱، هادی فتح‌اللهی^۱، حمیدرضا دری^۳، محمد رضالک^۳ و محمد بابایی^۴

^۱کارشناس ارشد پژوهشگاه علوم و فنون هسته‌ای، پژوهشکده تحقیقات کشاورزی، پزشکی و صنعتی کرج، استادیار گروه بیماری‌شناسی گیاهی، دانشگاه تربیت مدرس تهران، ^۲کارشناس ارشد مرکز تحقیقات کشاورزی و منابع طبیعی استان مرکزی اراک، ^۳تکنسین، پژوهشگاه علوم و فنون هسته‌ای پژوهشکده تحقیقات کشاورزی پزشکی و صنعتی کرج
تاریخ دریافت: ۸۷/۴/۱؛ تاریخ پذیرش: ۸۸/۷/۲۵

چکیده

در سال‌های ۱۳۸۴ و ۱۳۸۵ گیاهانی با عالیم پوسیدگی ریشه و طبقه از ۴۸ مزرعه مختلف لوبیا واقع در استان‌های خوزستان و مرکزی جمع‌آوری شدند. با به‌کارگیری آغازگرهای اختصاصی (FspF و FspR) تشخیص *Fusarium solani* f.sp. *phaseoli* تعداد ۳ جدایه به عنوان فرم مخصوص لوبیا مورد تأیید قرار گرفت. سوسپانسیون اسپور یکی از این سه جدایه (با استفاده از دستگاه گاما‌سل با چشمکه کیالت ۶۰ اکتیویته ۲۵۰۰ کوری و نرخ دز ۰/۳۸ گری در ثانیه) در محدوده دز ۱۳۰ گری با اشعه گاما مورد پرتوتابی قرار گرفت. مقایسه مولکولی موتانت‌های غیربیماری‌زای و جدایه مادری با استفاده از ۱۰ آغازگر تصادفی نشان داد که موتانت‌های غیربیماری‌زای M22 و M23 به ترتیب ۷۳ و ۵۰ درصد با جدایه مادری Kh12 تشابه دارند. این نتایج نشان می‌دهد که غیربیماری‌زا شدن موتانت‌های بیماری‌زا ناشی از تغییرات ژنتیکی در آنها می‌باشد. این اولین گام جهت القای موتاسیون و تعیین موتانت‌های غیربیماری‌زایی است که انتظار می‌رود برای کنترل بیولوژیکی این بیماری مهم لوبیا مورد استفاده قرار گیرند.

واژه‌های کلیدی: اشعه گاما، القای موتاسیون، *Fusarium solani* f.sp. *phaseoli*، آغازگرهای اختصاصی، موتانت‌های غیربیماری‌زا

*مسئول مکاتبه: hahari@nrcam.org

مقدمه

گیاه لوبیا با سطح زیرکشت ۱۱۵۸۳۳ هکتار و تولید ۲۱۸۸۵۸ تن، در ایران به عنوان یکی از محصولات بسیار مهم در جیره غذایی مردم محسوب شده و ارقام مختلف آن به صورت سبز تا فراورده‌های کنسروی به بازار مصرف عرضه می‌گردد (آمار سالیانه محصولات کشاورزی، ۲۰۰۳). بیماری پوسیدگی ریشه لوبیا ناشی از قارچ *Fusarium solani* f. sp. *phaseoli* از همه مناطق لوبیاکاری دنیا گزارش شده است (گودی و همکاران، ۲۰۰۴). در ایران نیز این بیماری همه ساله خسارت قابل ملاحظه‌ای را به کشاورزان تحمیل می‌نماید، به طوری که در مناطق کاملاً آلوده، تا ۸۵ درصد محصول را از بین می‌برد. هنگامی که قارچ بیمارگر در زمین مستقر شود، ریشه‌کنی آن عملی غیرممکن است. روش‌های مبارزه زراعی شامل تناوب بلندمدت، تنظیم تاریخ کاشت، کوددهی و زهکشی مناسب زمین، تنها می‌تواند درصد خسارت را تا حدودی کاهش دهند. برای کنترل بیماری روش شیمیایی مؤثری وجود ندارد و اکثر ارقام مقاوم نیز دارای صفات منفی مانند دوره رشد طولانی و بذرهای ریز می‌باشند.

از آنجا که صفت بیماری زایی *F. solani* تحت کنترل ناحیه‌ای از ژنوم قارچ می‌باشد، بنابراین پرتوتابی با اشعه گاما (در دامنه دز معین) می‌تواند موتانت‌هایی را ایجاد نماید که علی‌رغم از دست دادن صفت بیماری زایی، همه ویژگی‌های دیگر از قبیل شناسایی میزان، استقرار در ریشه و رقابت با سایر میکروارگانیسم‌ها را حفظ کرده‌اند (جوریان و همکاران، ۱۹۹۹). چنین موتانت‌هایی پس از طی مراحل مختلف، در نهایت، می‌توانند به عنوان یک عامل کنترل بیولوژیکی و به صورت تجاری در سطح مزارع علیه عامل پوسیدگی ریشه لوبیا به کار گرفته شوند. جوریان و همکاران (۱۹۹۹) با انجام آزمایشاتی، دامنه دز ۱۳۰ گری را به عنوان محدوده القای موتاسیون در قارچ عامل پژمردگی گوجه‌فرنگی انتخاب کردند. آنها با پرتوتابی قارچ *F. oxysporum* f. sp. *lycopersici* موفق به ایجاد موتانت‌های غیربیماری‌زا شدند و از آنها به منظور کنترل بیولوژیکی عامل بیماری استفاده نمودند. مقایسه ژنوم موتانت‌های حاصل با بیمارگر طبیعی نشان داد که علت اصلی غیربیماری‌زا شدن تغییر ژن کنترل‌کننده صفت بیماری زایی در ژنوم جدایه پرتودهی شده می‌باشد.

لاکشمدا و همکاران (۲۰۰۵) با به کارگیری اشعه فرابنفش، موتانت‌هایی را در قارچ *Colletotrichum capsici* (عامل آتراکنوز) ایجاد کردند که میزان تولید آنزیم‌های سلولاز و پکتیناز در آنها حدود ۴۳ و ۴۰ درصد کاهش یافت. این کاهش موجب شد رشد موتانت‌های مذبور ۴۰

در صد و میزان تولید کنیدی در آنها ۱۰ درصد کاسته شود. آغاز عالیم آنتراکنوز در موتانت‌های پرتودهی شده حدود ۴ روز دیرتر از قارچ‌های طبیعی بود و نرخ توسعه بیماری نیز به طور معنی‌داری کاهش یافت.

لین و همکاران (۲۰۰۱) تأثیر اشعه فرابنفش را بر فعالیت آنزیم RNA پلی‌مراز در باکتری *Xanthomonas oryzae* pv. *oryzae* مورد بررسی قرار دادند. بررسی‌های آنها نشان داد که پرتوتابی با شدت ۱۲ ژول بر مترمربع، قادر به القای موتابسیون مناسب در باکتری مذبور می‌باشد. مطالعات روی چهار جدایه قارچ بازیدیومیست *Coprinus cinereus* نشان داد که در ژنوم قارچ لوكوس مشخصی وجود دارد که در مقابل تابش پرتوهای یونیزه‌کننده حساسیت نشان می‌دهد. بررسی‌های کیم و سوندین (۲۰۰۰) نشان داد که القای موتابسیون در باکتری *Pseudomonas syringae* نیازمند تابش اشعه فرابنفش با شدت ۱۲ ژول بر مترمربع می‌باشد.

معرفی فناوری بی. سی. آر در اواسط دهه ۱۹۸۰ میلادی سرعت پیشرفت در شناسایی و توالی‌یابی ژنوم قارچ‌ها را بیشتر ساخت. سه نشانگر AFLP، SSR، RAPD به صورت گستردۀ‌تری مورد استقبال قرار گرفته‌اند (بیرن، ۲۰۰۳). استفاده از نشانگر RAPD به دلیل سادگی اجرا، عدم نیاز به اطلاعات اولیه از توالی دی. ان. ای برای ساخت آغازگر، سرعت بالا، هزینه اندک و عدم نیاز به کاوشگر و مواد رادیواکتیو، بسیار معمول شده است (فیلیپس و واسیل، ۲۰۰۱). این روش باعث کمک به ساخت نشانگرهایی شده است که در گونه‌هایی نظیر *F. solani* و *F. oxysporum* که دارای میزبان‌های اختصاصی هستند، اما به لحاظ ریخت‌شناسی قابل تفکیک از یکدیگر نمی‌باشند، مطالعه جمعیت را آسان‌تر می‌کند. فیلیون و همکاران (۲۰۰۳) برای شناسایی *F. solani* فرم مخصوص لوییا، از آغازگر اختصاصی که با استفاده از توالی ناحیه 18S rRNA ریبوزومی طراحی شده بود، استفاده کردند. به کارگیری مارکر RAPD برای تفکیک جدایه‌های *F. solani* f. sp. *glycines* نشان داد که بین شدت بیماری‌زایی جدایه‌ها (روی گیاه سویا) و نتایج حاصل از ژل الکتروفورز قطعات تکثیریافته در PCR ارتباط کاملاً معنی‌داری وجود دارد (آچن باخ و همکاران، ۱۹۹۶).

در این پژوهش با استفاده از آغازگرهای اختصاصی *F. solani* فرم مخصوص لوییا تعیین هویت شد و سپس با تاباندن پرتو گاما و طی مراحل مختلف، دو موتانت غیربیماری‌زا به وجود آمدند. پس از انجام آزمایش در صد کلونیزه کردن ریشه، با استفاده از ۱۰ پرایمر تصادفی جدایه مادری و دو موتانت غیربیماری‌زا مقایسه مولکولی شدند.

مواد و روش‌ها

۱- شناسایی بیمارگر، آزمون بیماری‌زایی و دامنه میزانی: نمونه‌برداری طی فصل زراعی سال‌های ۱۳۸۴ و ۱۳۸۵ و یک ماه پس از شروع کشت لوییا در مناطق عملده کشت این محصول در شهرستان‌های خمین و دزفول انجام شد. گیاهان آلوده براساس علایم ظاهری شامل کوتولگی، زردی و ریزش برگ‌ها انتخاب شدند. از ۴۸ مزرعه با توجه به سطح زیر کشت، ۵ تا ۱۰ عدد بوته آلوده در هکتار و به صورت تصادفی جمع‌آوری شد. قطعاتی از قسمت‌های آلوده پس از ضدغونی سطحی با محلول ۱ درصد هیپوکلریت سدیم به مدت دو دقیقه و سه بار شستشو با آب مقطر استریل، روی محیط آب-آگار (۱/۵ درصد) کشت شدند. ریسه‌های خارج شده از قطعات گیاهی به محیط کشت سیب‌زمینی-دکستروز-آگار^۱ انتقال یافته‌اند. خالص‌سازی قارچ‌ها به روش تک‌اسپور کردن روی محیط کشت آب-آگار ۲ درصد انجام پذیرفت. گونه *F. solani* با استفاده از کلید شناسایی نلسون و همکاران (۱۹۸۳) و با استفاده از محیط کشت‌های PDA^۲ و CLA^۳ تعیین گردید. برای اثبات بیماری‌زایی جدایه‌های جمع‌آوری شده، آزمون بیماری‌زایی در گلخانه انجام گرفت. برای تهیه مایه تلچیق از روش وسترلاند و همکاران (۱۹۷۴) استفاده شد. یک روز پیش از مایه‌زنی، گلدان‌ها آبیاری شدند تا عمل مایه‌زنی راحت‌تر انجام شود. برای مایه‌زنی، خاک اطراف بوته‌ها کنار زده شد و زیر طوقه هر بوته ۵ عدد بذر کلینیزه شده گندم قرار گرفت و دوباره با خاک پوشانده شد. در این آزمایش، هر تیمار شامل ۴ تکرار بود. پس از گذشت یک ماه، بوته‌های لوییا از خاک خارج شدند و شدت بیماری‌زایی هر ۲۰ جدایه براساس درجه‌بندی ۵ شماره‌ای مکفادن و همکاران (۱۹۸۹) مورد ارزیابی قرار گرفت. تعیین فرم مخصوص جدایه‌های بیماری‌زا طی دو مرحله انجام شد:

الف- بررسی دامنه میزانی در گلخانه: تهیه مایه تلچیق همانند روش قبلی انجام شد و عمل مایه‌زنی روی گیاهانی از تیره بقولات (نخود، سویا، ماش و عدس) و کدوئیان (خوار، طالبی و خربزه) صورت پذیرفت.

ب- استفاده از پرایمر اختصاصی

- استخراج دی. ان. ای ژنومی: برای تولید توده میسلیومی جدایه‌ها در محیط کشت مایع ^۴PDB (عصاره ۲۰۰ گرم سیب‌زمینی همراه با ۱۵ گرم دکستروز در یک لیتر آب)، دو قطعه از حاشیه پرگنه‌های ۵ روزه جدایه‌های بیمارگر به فلاسک‌ها حاوی ۱۰۰ میلی لیتر محیط کشت مایع منتقل شدند.

1- Potato Dextrose Agar (=PDA)

2- Carnation-Leaf Agar

3- Potato Dextrose Broth

شیشه‌ها به مدت ۵ روز در دمای ۲۵ درجه سلسیوس روی شیکر (با سرعت ۶۰ دور در دقیقه) قرار گرفتند. سپس، با استفاده از فیلتر خلاء توده میسلیومی از محیط مایع جدا شد و با کاغذ صافی خشک گردید. حدود یک گرم از هر نمونه در هاون چینی با نیتروژن مایع به صورت پودر در آمد و در ۴۰۰ میکرولیتر محلول نمکی DNA (تریس HCl ۱۰۰ میلی مولار pH=۷/۵-۸ ۵ میلی مولار EDTA و ۱/۴ مولار کلرید سدیم) سوپانسیون شد. سوپانسیون مذکور به مدت ۱۵ دقیقه در دمای ۶۵ درجه سلسیوس نگهداری شد و سپس روی یخ قرار گرفت. در ادامه، هر نمونه دو بار به مدت ۱۰ دقیقه با سرعت ۱۰۰۰۰ دور در دقیقه سانتریفوژ شد و فاز رویی به یک میکروتیوب جدید منتقل گردید. دی. ان. ای با ۰/۷ حجم ایزوپروپانول رسوب داده شد و به مدت ۱۵ دقیقه با سرعت ۱۰۰۰۰ دور در دقیقه سانتریفوژ گردید. پس از حذف ایزوپروپانول و تبخیر باقی مانده الكل، نمونه‌ها در ۱۰۰ میکرولیتر آب دیونیزه حل شدند. مقدار یک میکرولیتر آنزیم RNase به هر تیوب اضافه شده و به مدت یک ساعت در دمای اتاق نگهداری شد. نمونه‌ها برای انجام مراحل بعدی در فریزر -۲۰ درجه سلسیوس قرار گرفتند.

- واکنش پی. سی. آر (واکنش زنجیره‌ای پلی مراز): برای شناسایی تکمیلی جدایه‌ها، از آغازگر ویژه F. s. f.sp. *phaseoli* که توسط فیلیون و همکاران (۲۰۰۳) طراحی شده است، استفاده گردید. بدین منظور آغازگر بالا دست ۳'-AACCCCGCCGAGGACTCA-۵' و پایین دست ۵'-AGACATGAGCGATGAGAGGCA-۳' مورد استفاده قرار گرفت. واکنش پی. سی. آر در حجم ۲۵ میکرولیتر انجام شد (جدول ۱).

جدول ۱- ترکیبات واکنش پی. سی. آر برای حجم ۲۵ میکرولیتر.

مواد	مقدار
پرایمر (بالا دست) (۵ pM)	۱ میکرولیتر
پرایمر (پایین دست) (۵ pM)	۱ میکرولیتر
بافر پی. سی. آر (۱۰ X)	۲/۵ میکرولیتر
(۵۰ mM) MgCl ₂	۱/۵ میکرولیتر
(۱ U) <i>Taq</i> DNA polymerase	۰/۵ میکرولیتر
(۲۵ mM) dNTPs	۱ میکرولیتر
دی. ان. ای (۵۰ ng)	۰/۵ میکرولیتر

در هر آزمایش از یک واکنش پی. سی. آر بدون دی. ان. ای به عنوان شاهد منفی استفاده شد. برنامه پی. سی. آر شامل ۳۵ چرخه، ۹۴ درجه سلسیوس ۲ دقیقه، ۶۲ درجه سلسیوس ۱ دقیقه و ۷۲ درجه سلسیوس ۱ دقیقه بود. در آغاز، واکنش به مدت ۱ دقیقه در دمای ۹۴ درجه سلسیوس قرار گرفت. در آخر واکنش، یک مرحله طویل شدن رشته در ۷۲ درجه سلسیوس به مدت ۷ دقیقه منظور گردید. محصول پی. سی. آر روی ژل آگاروز ۱/۲ درصد الکتروفورز شد. همچنین، از لحاظ وزن با نشانگر اندازه ۱۰۰ bp SMO321 (Fermentas) مقایسه شد.

۲- دزیابی، پرتوتابی و ایجاد موتانت غیربیماری‌زا: ابتدا، سوسپانسیونی از اسپور خالص قارچ حاوی ۱۰۰ عدد اسپور در هر میلی‌لیتر تهیه شد و سپس، ۱۰۰ میکرولیتر از سوسپانسیون مذکور با استفاده از یک میله شیشه‌ای روی سطح تشک‌های پتری حاوی محیط کشت سبب‌زنی- دکستروز- آگار پخش گردید. تشک‌های مذکور با استفاده از دستگاه گاماسل با چشممه کمالت ۶۰ اکتیویته ۲۵۰ کوری و نرخ دز ۰/۳۸ گری در ثانیه مستقر در پژوهشکده تحقیقات کشاورزی، پژوهشکی و صنعتی (سازمان انرژی اتمی ایران) در معرض دزهای ۰، ۶۰، ۹۰، ۱۲۰، ۱۵۰ و ۱۸۰ گری قرار گرفتند.

۱۲ ساعت پس از پرتوتابی، تعداد ۳ عدد اسپور جوانه زده مربوط به هر سطح دز مشخص شدند و با استفاده از سوزن به محیط سبب‌زنی- دکستروز- آگار انتقال یافتند. پس از ۱۰ روز، مقادیر رشد با اندازه‌گیری قطر پرگنه مقایسه شدند. علاوه بر این، درصد جوانه‌زنی میکروکنیدی‌ها و ماکروکنیدی‌ها پس از گذشت ۱۸ ساعت ثبت شد. بدین منظور، چهار منطقه از سطح هر تشک تعیین شدند و در محدوده بزرگ‌نمایی X ۱۰ میکروسکوپ نوری، تعداد اسپورهای جوانه زده و جوانه نزد شمارش شد و براساس آن، درصد جوانه‌زنی محاسبه گردید. مقایسه میانگین‌های درصد جوانه‌زنی و قطر پرگنه (پس از گذشت ۱۰ روز از پرتوتابی با دزهای مختلف) تیمارها را در سه گروه مختلف قرار داد. بر این اساس، محدوده دز ۱۲۰ و ۱۵۰ گری جهت القای موتابیون‌های مفید انتخاب شد. سوسپانسیون رقیقی از اسپور یک جدایه بیماری‌زا F.s. f.sp. *phaseoli* تهیه شد و عملیات پرتوتابی با دز ۱۳۰ گری PDA انجام پذیرفت. اسپورهای جوانه زده زیر بینوکولر مشخص شدند و جداگانه به محیط کشت انتقال یافتند. تلقیح سوسپانسیون اسپور ۵۰۰ موتابت با غلاظت^{۱۰} به روش فیلیون و همکاران (۲۰۰۳) به سطح ریشه لوبيا انجام پذیرفت. بررسی عالیم بیماری پس از یک ماه براساس درجه‌بندی شش شماره‌ای دار و همکاران (۱۹۹۷) نشان داد که دو موتابت M23 و M22 قدرت بیماری‌زایی خود

را از دست داده‌اند و علایم پوسیدگی را روی ریشه لوبيا نشان نمی‌دهند. این آزمایش به‌منظور اثبات پایداری غیربیماری‌زایی موتانت‌ها دوباره تکرار شد.

۳- بررسی توانایی کلینیزه کردن ریشه در موتانت‌های غیربیماری‌زا: بذور لوبيا پس از استریل سطحی با الکل اتیلیک ۷۰ درصد در خاک استریل داخل گلدان کاشته شد. پس از ۲۰ روز، تلقیح سوسپانسیون اسپور ۵۰۰ موتانت با غلظت ^{۱۰} به روش فیلیون و همکاران (۲۰۰۳) به سطح ریشه لوبيا انجام پذیرفت. یک ماه پس از تلقیح، کل طول ریشه اصلی به سه قسمت تحتانی، میانی و فوقانی تقسیم شد و از هر بخش، تعداد ۲۰ مقطع عرضی به ضخامت ۳ میلی‌متر برداشته شد. مقاطع عرضی پس از ضدغونی با الکل اتیلیک روی محیط PDA کشت شدند (اونکار و جیمز، ۱۹۹۵). کشت‌ها از نظر وجود F. s. f. sp. *phaseoli* بررسی گردیدند. این آزمایش در قالب طرح بلوك کامل تصادفی با چهار تکرار برای هر تیمار انجام شد و تعداد قطعات کلینیزه در مقایسه با نمونه مادری (موتانت بیماری‌زا قبل از پرتوتابی) بر حسب درصد به‌دست آمد.

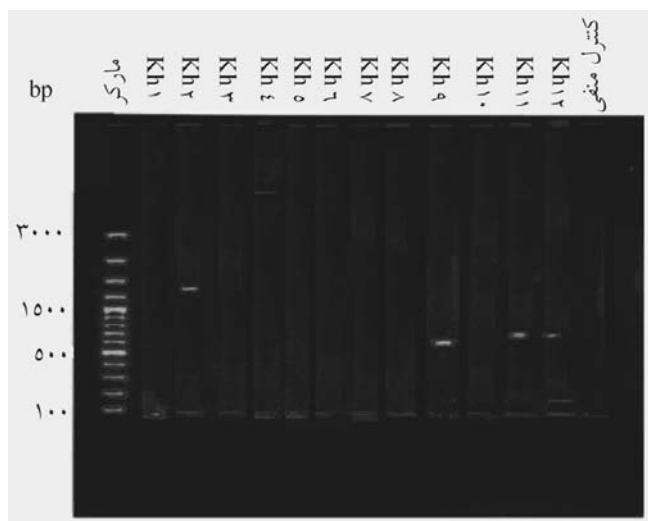
۴- بررسی تأثیر موتانت‌های غیربیماری‌زا به عنوان عامل کترول بیولوژیکی: توانایی دو موتانت M22 و M23 در کترول بیولوژیکی عامل پوسیدگی ریشه لوبيا در شرایط گلخانه بررسی شد. ده روز پس از کاشت لوبيا در خاک استریل و با دو برگی شدن گیاهچه، خاک اطراف ریشه کنار زده شد و سطح ریشه اصلی در معرض ۱ سی سی محلول سوسپانسیون اسپور (به غلظت ^{۱۰} اسپور در هر میلی‌لیتر) قرار گرفت (فیلیون و همکاران، ۲۰۰۳). با گذشت ۷ روز، سوسپانسیون اسپور قارچ بیماری‌زا (تیپ وحشی) دوباره روی ریشه گیاهان تلقیح شده با موتانت‌های M22 و M23 ریخته شد تا تأثیر کلونیزاسیون موتانت‌های غیربیماری‌زا بر کاهش قدرت بیماری‌زایی تیپ وحشی آشکار شود. این آزمایش به صورت طرح بلوك کامل تصادفی و با چهار تکرار اجرا شد. پس از گذشت دو هفته، گیاهان از خاک خارج شدند و شدت بیماری‌زایی جدایه‌ها براساس درجه‌بندی شش شماره‌ای دار و همکاران (۱۹۹۷) مورد ارزیابی قرار گرفت.

۵- مقایسه مولکولی موتانت‌های غیربیماری‌زا با تیپ مادری: به‌منظور بررسی تغییرات احتمالی در سطح ژنوم موتانت‌های غیربیماری‌زا، دی. ان. ای‌های جدایه مادری (Kh12) و موتانت‌های غیربیماری‌زا (M22 و M23) با استفاده از آغازگرهای تصادفی مقایسه شدند. به‌منظور بررسی الگوی باندی جدایه مادری و موتانت‌های غیربیماری‌زا، از ۱۰ آغازگر استفاده شد. محصول پی. سی. آر با

الکتروفورز روی ژل آگاروز ۲ درصد تفکیک شد، به وسیله اتیدیوم بروماید رنگ‌آمیزی گردید و باندها با پرتو فرابنفش مریبی شدند. در این مرحله، جدایه‌های مورد آزمایش از لحظه وجود یا عدم وجود باندهای مختلف و نیز وزن با نشانگر اندازه ۱۰۰ bp SMO321 (Fermentas) مقایسه گردیدند. به منظور رتبه‌بندی داده‌های حاصل از الکتروفورز، جدول توافقی یک (حضور باند) و صفر (عدم حضور باند) برای الگوهای تنوع در نشانگرها تشکیل گردید و ماتریس داده‌ها به روش خوش‌های^۱ و با نرم‌افزار MVSP (میرمجلسی، ۲۰۰۵) تجزیه و تحلیل شد.

نتایج و بحث

آزمون بیماری‌زایی و دامنه میزانی: تعیین فرم مخصوص جدایه‌ها نشان داد که پرایمرهای اختصاصی در سه جدایه Kh9، Kh11 و Kh12 یک باند ۵۶۰ bp ویژه فرم مخصوص *F.s.f.sp.phaseoli* را ایجاد می‌نمایند (شکل ۱).



شکل ۱- محصولات تکثیریافته پی. سی. آر از دی. ان. ای استخراج شده
جدایه‌های گونه *F. solani* روی ژل آگاروز.

به طور کلی، کاربرد آغازگر اختصاصی، نتایج حاصل از آزمایش‌های گلخانه‌ای را برای تعیین فرم مخصوص لوبیا به جز در یک مورد تأیید کرد. جدایه Kh12 که بیشترین شدت بیماری زایی را داشت و به عنوان فرم مخصوص لوبیا نیز انتخاب شد در پرتوتابی مورد استفاده قرار گرفت. دزیابی، پرتوتابی و ایجاد موتابت غیربیماری‌زا: مشاهده نمونه‌ها در زیر میکروسکوپ نشان داد که با گذشت سه ساعت از زمان آزمایش در دزهای ۱۲۰، ۱۵۰ و ۱۸۰ گری هنوز جوانه‌زنی اسپورها مشاهده نشد، در حالی که در دزهای ۶۰ و ۹۰ گری، میکرو و ماکروکنیدی‌ها جوانه زندن. درصد جوانه‌زنی در دزهای ۱۵۰ و ۱۸۰ گری (پس از ۱۲ ساعت) به طور معنی‌داری از سایر دزها کمتر بود، نشان داد در حالی که دز ۶۰ گری نتوانست بر میزان جوانه‌زنی اسپورها تأثیر معنی‌داری بگذارد (جدول‌های ۲ و ۳).

جدول ۲- تجزیه و تحلیل واریانس تأثیر دزهای مختلف پرتو گاما بر درصد جوانه‌زنی اسپورها و قطر پرگنه قارچ

F. s. f.sp. phaseoli

منابع تغییر	درجه آزادی	جوانه‌زنی اسپور	قطر پرگنه
دز پرتوتابی	۵	۱۲۰۰/۸**	۲/۰۳۵**
خطا	۱۲	۵/۶۷۷	۰/۱۰۶
ضریب تغییرات (درصد)		۳/۲۸	۴/۸۳

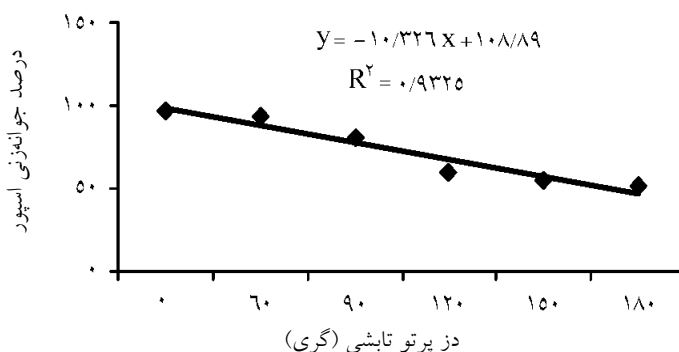
** معنی‌دار در سطح احتمال ۱ درصد.

جدول ۳- مقایسه میانگین درصد جوانه‌زنی و قطر پرگنه قارچ *F. solani f.sp. phaseoli* در دزهای مختلف تابش پرتو گاما.

دز تابشی پرتو گاما (گری)	جوانه‌زنی	قطر پرگنه (سانتی‌متر)
.	۹۶/۳ ^a	۷/۷۳ ^a
۶۰	۹۳/۲ ^a	۷/۱۷ ^{ab}
۹۰	۸۱/۳۳ ^b	۷/۰۳ ^b
۱۲۰	۵۹/۶۷ ^c	۶/۹۷ ^b
۱۵۰	۵۴/۳۳ ^d	۶ ^c
۱۸۰	۵۱/۶۷ ^d	۵/۵ ^c

میانگین‌های دارای حرف مشترک در یک ستون، در سطح احتمال ۱ درصد اختلاف معنی‌داری ندارند.

مقایسه میانگین‌های قطر پرگنه پس از گذشت ۱۰ روز از پرتوتابی با دزهای مختلف، تیمارها را در سه گروه مختلف قرار داد. بر این اساس، پرتوتابی با دزهای ۱۵۰ و ۱۸۰ گری به شکل معنی‌داری سبب کاهش قطر پرگنه نسبت به شاهد و سایر دزها شد (جدول‌های ۲ و ۳). تأثیر پرتو گاما بر جوانهزنی اسپورهای *F. solani* f.sp. *phaseoli* از دز ۹۰ گری نمایان گردید به نحوی که با افزایش دز پرتو، درصد جوانهزنی اسپورها کاهش یافت. روند کاهش درصد جوانهزنی از یک تابع خطی تبعیت نمود (شکل ۲).



شکل ۲- ارتباط بین دز تابشی پرتو گاما و درصد جوانهزنی اسپور فارج *F. s. f.sp. phaseoli*

این الگو با نتایج حاصل از تحقیقات جوریان و همکاران (۱۹۹۹) روی قارچ *F. oxysporum* f.sp. *lycopersici* مطابقت می‌کند با این تفاوت که حساسیت این قارچ در برابر تابش پرتو گاما از *F. s. f.sp. phaseoli* بیشتر می‌باشد. در این آزمایش از دز تابشی ۱۲۰ گری میزان مرگ و میر ۴۰ درصدی اسپورها آغاز شد به طوری که در دز تابشی ۱۸۰ گری این مقدار به حدود ۵۰ درصد رسید. پس از پرتوتابی اسپور و انتقال اسپورهای جوانهزنده به محیط کشت PDA، مجموعاً ۵۰۰ موتانت به دست آمد که به صورت پرگنه‌های ۵ روزه در دمای ۶ درجه سلسیوس قرار گرفت تا در مراحل بعد مورد استفاده قرار گیرد. با گذشت یک ماه از تلقیح گیاهان از خاک خارج شده، شدت بیماری‌زایی جدایه‌ها براساس درجه‌بندی شش شماره‌ای دار و همکاران (۱۹۹۷) مورد ارزیابی قرار گرفت. در پایان این مرحله، دو عدد موتانت غیربیماری‌زا (M22 و M23) شناسایی گردید. موتانت‌های M22 و M23 از

جهت ایجاد علایم پوسیدگی روی ریشه و طرقه با نمونه شاهد تفاوت معنی داری نداشتند (جدول های ۴ و ۵). هر دو موتابلت بالا به آسانی از ناحیه طرقه و ریشه گیاه لوبيا جداسازی مجدد شدند.

جدول ۴- تجزیه و تحلیل واریانس توانایی کلونه کنندگی جدایه های موتابلت غیربیماری زا و شاهد *F. s. f.sp. phaseoli*

منابع تغییر	درجه آزادی	درصد کلونه کنندگی ریشه
نوع جدایه	۲	۶۸۱/۲۵۰**
خطا	۶	۱۴/۵۸۳
ضریب تغییرات (درصد)	۴/۸۵	

** معنی دار در سطح احتمال ۱ درصد.

جدول ۵- مقایسه میانگین درصد کلونه کنندگی ریشه به وسیله جدایه های موتابلت غیربیماری زا و شاهد *F. s. f.sp. phaseoli*

جدایه	درصد کلونه کنندگی
Kh12	۸۷ ^a
M22	۶۳ ^b
M23	۸۵ ^a

میانگین های دارای حرف مشترک در یک ستون، در سطح احتمال ۱ درصد اختلاف معنی داری ندارند.

بررسی تأثیر موتابلت های غیربیماری زا به عنوان عامل کنترل بیولوژیکی: نتایج حاصل از بررسی توان موتابلت های غیربیماری زا در کنترل بیولوژیکی نشان دادند که درصد پوسیدگی ریشه در اثر کاربرد موتابلت غیربیماری زا در مقایسه با گیاهان تلقیح شده با جدایه بیماری زا به طور معنی داری کاهش یافت به طوری که درصد پوسیدگی از ۵۸/۷۵ به ۷۷/۵ تحت تأثیر جدایه M22 و ۲۲/۵ تحت تأثیر جدایه M23 کاهش یافت (جدول های ۶ و ۷).

جدول ۶- تجزیه و تحلیل واریانس تأثیر تیپ وحشی و موتابلت های *F. solani f.sp. phaseoli* بر درصد پوسیدگی ریشه لوبيا.

منابع تغییر	درجه آزادی	درصد پوسیدگی ریشه
بیمارگر	۴	۴۶۱۳/۷۵**
خطا	۱۲	۳۷/۹۱۷
ضریب تغییرات (درصد)	۱۸/۸	

** معنی دار در سطح احتمال ۱ درصد.

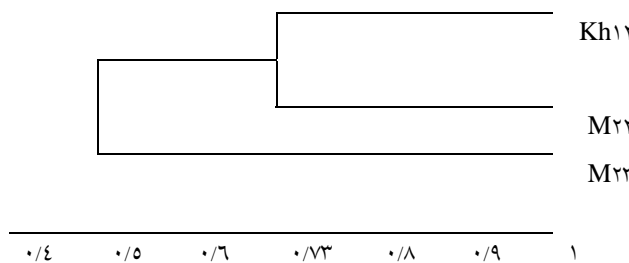
مجله پژوهش‌های تولید گیاهی (۱۶)، شماره (۳) ۱۳۸۸

جدول ۷- مقایسه میانگین درصد پوسیدگی ریشه لوپیا تحت تأثیر تیپ وحشی و موتانت‌های *F. s. f.sp. phaseoli*

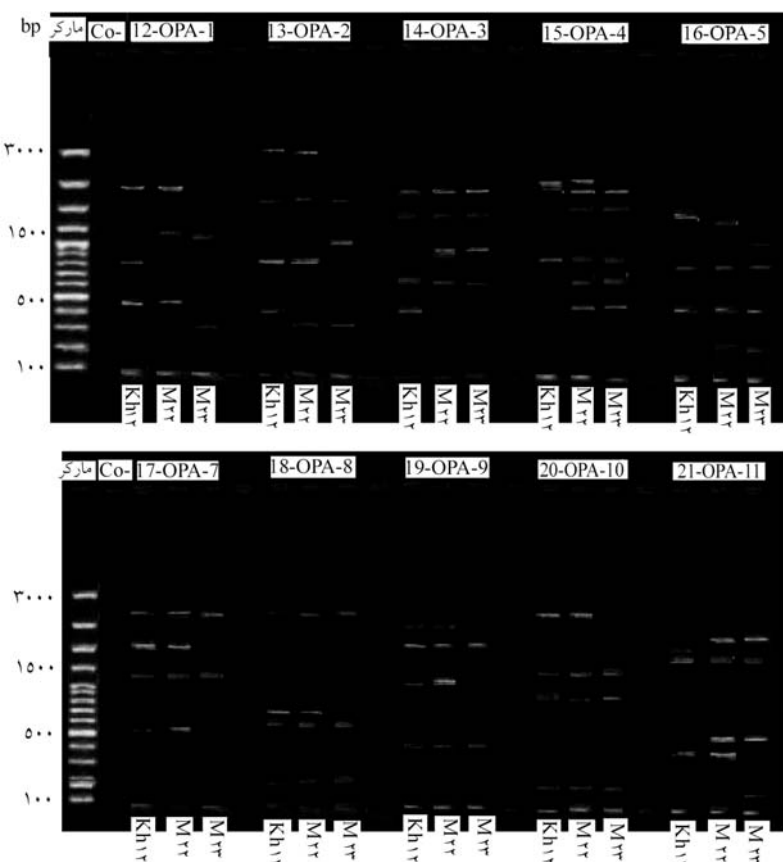
درصد پوسیدگی ریشه	بیمارگر
۷۷/۵ ^a	تیپ وحشی (W)
۲/۵ ^d	موتانت M22
۲/۵ ^d	موتانت M23
۵۸/۷۵ ^b	M22 + W
۲۲/۵ ^c	M23 + W

میانگین‌های دارای حرف مشترک در یک ستون، در سطح احتمال ۱ درصد اختلاف معنی‌داری ندارند.

مقایسه مولکولی موتانت‌های غیربیماری‌زا با تیپ مادری: الگوی باندی و آنالیز خوش‌های اطلاعات به دست آمده براساس الگوی RAPD حاصل از تکثیر دی. ان. ای توسط ۱۰ آغازگر نشان داد که موتانت‌های غیربیماری‌زا M22 و M23 به ترتیب ۷۳ و ۵۰ درصد با جدایه مادری Kh12 تشابه دارند (شکل‌های ۳ و ۴). این بدین معنی است که ایجاد صفت غیربیماری‌زا بی در موتانت‌ها نتیجه تغییرات ژنتیکی در دی. ان. ای جدایه مادری می‌باشد. این اولین گام جهت ایجاد موتانت‌های غیربیماری‌زا به منظور استفاده در کنترل بیولوژیک این بیماری مهم لوپیا می‌باشد.



شکل ۳- دندروگرام حاصل از داده‌های ده آغازگر تصادفی با استفاده از روش UPGMA و ضریب تشابه جاکارد برای سه جدایه Kh12، M22 و M23



شکل ۴- الگوی باندی محصولات پی. سی. آر ده آغازگر در جدایه مادری (Kh12) و
موتانت‌های *F. s. F.sp.phaseoli* M22 و M23

منابع

- 1.Achenbach, L.A., Patrick, J., and Gray, L. 1996. Use of RAPD markers as a diagnostic tool for the identification of *Fusarium solani* isolates that cause soybean sudden death syndrome. Plant Dis. 80: 1228-1232.
- 2.Annual Sum of Agricultural Products of Markazi provinces in 2001-2. 2003. Jahad-e-Keshavarzi Organization of Markazi province, 20p.
- 3.Birren, B. 2003. Fungal genome initiative a white paper for fungal comparative genomics. <http://www.broad.mit.edu/fungi/FGI-WHITEPAPER-Oct2003>.

- 4.Dar, G.H., Zargar, M.Y., and Beigh, G.M. 1997. Biocontrol of fusarium root rot in the common bean (*Phaseolus vulgaris* L.) by using symbiotic *Glomus mosseae* and *Rhizobium leguminosarum*. Micro. Eco. 34: 74-80.
- 5.Filion, M., St-Arnaud, M., and Jabaji-Hare, S.H. 2003. Quantification of *Fusarium solani* f.sp. *phaseoli* in mycorrhizal bean plants and surrounding mycorrhizosphere soil using real time polymerase chain reaction and direct isolations on selective media. Plant Dis. APS Press, 93: 2. 229-235.
- 6.Goody, P., Cano, J., Gene, J., Guarro, J., Luisa Hufling-Lima, A., and Lopes Colombo, A. 2004. Genotyping of 44 isolates of *F. solani*, The main agent of fungal keratitis in Brazil. J. of Clinical Microb. Pp: 4494-4497.
- 7.Jurrian, J.M., Wit, R., Christa, S.T., Francis, D.G., Michel, A.H., and Ben, J.C. 1999. Loss of avirulence and reduced pathogeneity of a gamma-irradiated mutant of *Fusarium oxysporum* f. sp. *lycopersici*. Phytopathol. 89: 1131-1137.
- 8.Kim, J., and Sundin, W. 2000. Regulation of the rulAB mutagenic DNA repair operon of *Pseudomonas syringae* by UV-B (290-320 nanometers) radiation and analysis of rulAB-mediated mutability *in vitro* and *in planta*. Microb. 40: 84-92.
- 9.Lakshmesha, K.K., Lakshmidevi, N., and Mallikarjuna, S. 2005. Changes in pectinase and cellulase activity of *Colletotrichum capsici* mutants and their effect on antheracnose disease on Capsicum fruit. Archi. of Phytopathol. and Plant Protec. 38: 267-279.
- 10.Lin, S.H. 2001. Uv-induced increase in RNA polymerase activity in *Xanthomonas oryzae* pathovar *oryzae*. Microb. 43: 120-123.
- 11.McFadden, W., Hall, R., and Philips, L. 1989. Relation of initial inoculum density to severity of fusarium root rot of white bean in commercial fields. Can. J. Plant Pathol. 11: 122-126.
- 12.Mirmajlessi, S.M. 2005. Investigation of anastomosis groups and genetic diversity of *Rhizoctonia solani* causal agent of root and crown rot of cucurbits in Iran. M.Sc. thesis of Tarbiat Modares University, 156p. (In Persian).
- 13.Nelson, P.E., Toussoun, T.A., and Marasas, W.F.O. 1983. *Fusarium* species: An illustrated manual for identification. Pennsylvania State University Press. University Park, 193p.
- 14.Onkar, D., Dhingra, B., and Sinclair, B. 1995. Basic Plant Pathology Methods. CRC Press, INC, 434p.
- 15.Phillips, R.L., and Vasil, I.K. 2001. DNA Based Markers in Plants. Kluwer Academic Publishers, 512p.
- 16.Westerland, F.U., Campbell, J.R., and Limble, K.A. 1974. Fungal root rots and wilt of chickpea in California. Phytopathol. 64: 432-436.



J. of Plant Production, Vol. 16(3), 2009
www.gau.ac.ir/journals

Possibility of biological control of bean root rot disease, using of avirulent mutants of *Fusarium solani* f.sp. *phaseoli* isolate

***H. Ahari Mostafavi¹, N. Safaei², B. Naserian¹, H. Fathollahi¹,
H. Dorri³, M. Lak³ and M. Babaie⁴**

¹Sinior Expert (M.Sc.), Nuclear Science and Technology Research Institute, Agricultural, Medical and Industrial Research Center Karaj, ²Assistant Prof., Dept. of Plant Pathology, Tarbiat Modares University, ³Sinior Expert (M.Sc.), Agricultural and Natural Resources Researches Center of Markazi province, ⁴Technicians, Nuclear Science and Technology Research Institute, Agricultural, Medical and Industrial Research Center Karaj

Abstract

Plants showing root and crown rot were collected from 48 bean fields in the Khuzestan and Markazi provinces During 2005-2006. Using specific primers (FspHR/FspHF) for these forma specialis, three isolates were identified as *F.s.* f.sp. *phaseoli*. Conidial suspension of one of these isolates were irradiated (in a 60Co-gamma cell with activity of 2500 curi and 0.38 grey per second dose rates) with 130 Gy. Pathogenicity and root colonization tests confirmed two avirulent mutants. Molecular comparison using 10 primers between avirulent mutants and wild type showed that, avirulent mutants M22 and M23 have 73% and 50% similarity with wild type kh12. These results showed that, avirulent mutants were produced due to genetical differences. This is the first step to induce mutation and screening for avirulent mutants which are promising prerequisite for biological control of this important disease in bean.

Keywords: Gamma ray, Mutation induction, *Fusarium solani* f.sp. *phaseoli*, Specific primers, Avirulent mutants

* Corresponding Author; Email: hahari@nrcam.org

